

ตัวเร่งปฏิกิริยานาโนแคลเซียมออกไซด์ประสิทธิภาพสูงสำหรับการผลิตไบโอดีเซล

High Performance of Nanocalcium Oxide Catalyst for Biodiesel Production

ชาวดรัตน์ นาคแสงจันทร์ อัมราวดี จันทร์ศรี ออมรัตน์ อินธرنาง และการะเกด เทศศรี*

Shawratnaksaengchan, Ammaravadee Chansri, Amonrat Innang and Karaked Tedsree*

ห้องปฏิบัติการตัวเร่งปฏิกิริยานาโน ภาควิชาเคมี คณะวิทยาศาสตร์ มหาวิทยาลัยบูรพา

Nanocatalysis Laboratory, Department of Chemistry, Faculty of Science, Burapha University

วันที่รับบทความ 17 กรกฎาคม พ.ศ. 2557

วันที่ตอบรับตีพิมพ์ 11 พฤษภาคม พ.ศ. 2557

บทคัดย่อ

อนุภาคนาโนแคลเซียมออกไซด์ สามารถเตรียมได้จากปฏิกิริยาการสลายตัวโดยใช้ความร้อนของอนุภาคนาโน แคลเซียมไฮดรอกไซด์ที่สังเคราะห์ได้จากปฏิกิริยาไฮดรอลิซซของแคลเซียมในเดรท ภายใต้สภาวะที่เป็นเบส ในตัวกลาง เอทิลีนไกลคอล การวิเคราะห์ขนาด รูปร่าง และสมบัติเชิงพื้นผิว แสดงให้เห็นว่าแคลเซียมออกไซด์ที่เตรียมภายใต้ สภาวะที่มีการเติมพอลิไวนิลไพรอลิด (PVP) เป็นสารช่วยเสถียร มีรูปร่างเป็นทรงกลม และมีขนาดอนุภาคเล็กกว่าการ เตรียมโดยไม่เติมสารช่วยเสถียร การกระจายตัวของขนาดอนุภาคพบในช่วง 13-26 นาโนเมตร พื้นที่ผิวจำเพาะมีค่า เท่ากับ $70.30 \text{ m}^2 \text{g}^{-1}$ และความเป็นเบสมีค่าในช่วง $15 < H < 18.4$ การทดสอบประสิทธิภาพในการเร่งปฏิกิริยาการ ผลิตไบโอดีเซลจากปฏิกิริยาทวนส์ເອສເທෝව්ෆිකේชนของน้ำมันปาล์มที่สภาวะต่างๆ แสดงให้เห็นว่านาโนแคลเซียม ออกไซด์ที่เตรียมได้มีสมบัติเป็นตัวเร่งปฏิกิริยาที่มีประสิทธิภาพสูง โดยสามารถเปลี่ยนไตรกลีเซอไรด์เป็นเมทิลเอสเตอร์ (ไบโอดีเซล) ด้วยร้อยละโดยน้ำหนักของตัวเร่งปฏิกิริยาเท่ากับ 98 ภายในเวลา 0.5-1 ชั่วโมง ที่อุณหภูมิการเกิดปฏิกิริยา 60 องศาเซลเซียส เมื่อใช้ร้อยละโดยน้ำหนักของตัวเร่งปฏิกิริยาเท่ากับ 1-2 และอัตราส่วนเมทานอลต่อน้ำมันเท่ากับ 8:1

คำสำคัญ : อนุภาคนาโนแคลเซียมออกไซด์ ปฏิกิริยาทวนส์ເອສເທෝව්ෆිකේชน ไบโอดีเซล

Abstract

Calcium oxide nanoparticles were prepared by thermal decomposition of nanocalcium hydroxide which synthesized via controlled hydrolysis of calcium nitrate under basic condition in ethylene glycol medium. The analysis of particle size, shape and surface properties showed that calcium oxide prepared in the presence of poly(vinylpyrrolidone) (PVP) stabilizer has spherical in shape and particle sizes smaller than the samples prepared without added stabilizer. Their particle-size distribution is in the range of 13-26 nm. The specific surface area is $70.30 \text{ m}^2 \text{g}^{-1}$ and the basic strength is $15 < H < 18.4$. The catalytic performance of calcium oxide for biodiesel production was investigated via transesterification of palm oil under various reaction conditions. The synthesized nanocalcium oxide showed high catalytic performance to converse triglycerides to methyl esters (biodiesel) of 98% in 0.5-1 hour with 1-2 %W of catalysts at reaction temperature of 60°C and 8:1 ratio of methanol to oil.

Keywords : calcium oxide nanoparticle, transterification, biodiesel

*Corresponding author. E-mail : karaked@buu.ac.th

บทนำ

ตัวเร่งปฏิกิริยาเนื้อดีเยวนิดเบส เช่น โซเดียมไฮดรอกไซด์ (NaOH) นิยมใช้ในการผลิตไบโอดีเซล โดยสามารถเร่งปฏิกิริยาการเปลี่ยนโครงกลีเซอโรลในไขมันหรือน้ำมันเป็นเมทิลเอสเทอร์ของกรดไขมัน (fatty acid methyl esters : FAMEs) หรือไบโอดีเซลด้วยร้อยละผลิตภัณฑ์ที่สูง ภายใต้กระบวนการกรองสารส์เอสเทอโรฟิเคลชัน อย่างไรก็ตามการใช้โซเดียมไฮดรอกไซด์ในกระบวนการผลิตไบโอดีเซลมีข้อจำกัด คือ ทำให้เกิดน้ำเสียจากการล้างในปริมาณมาก นอกจากนี้โซเดียมไฮดรอกไซด์ยังมีสมบัติการกัดกร่อน และไม่สามารถนำมาใช้ใหม่ได้ (Kouzu *et al.*, 2008) ดังนั้นการเลือกใช้ตัวเร่งปฏิกิริยาเนื้อผสมซึ่งสามารถแยกออกจากผลิตภัณฑ์ได้ง่าย สามารถนำกลับมาใช้ใหม่ และเป็นมิตรกับระบบอนิเวศวิทยาจึงเป็นทางเลือกที่ดี อย่างไรก็ตามข้อจำกัดที่สำคัญของใช้ตัวเร่งปฏิกิริยาเนื้อผสม คือ การมีอัตราเร่งปฏิกิริยาที่ต่ำเนื่องจากปฏิกิริยาเกิดได้เฉพาะที่บีโรมานพ์ผิว (Tang *et al.*, 2011)

ตัวเร่งปฏิกิริยานาโนมีอัตราส่วนพื้นผิwt/oปรม่าตราชูง และสามารถกระจายตัวในตัวกลางในรูปคลอลอยด์ จึงช่วยเพิ่มพื้นผิวสัมผัสระหว่างสารตั้งต้นและตัวเร่งปฏิกิริยา ส่งผลให้อัตราการเกิดปฏิกิริยาสูงขึ้น นอกจากนี้ยังสามารถแยกออกจากปฏิกิริยาได้ง่ายเช่นเดียวกับตัวเร่งปฏิกิริยาเนื้อผสม ตัวเร่งปฏิกิริยานาโนจึงทำหน้าที่เสริมสนับสนุนสำหรับตัวเร่งปฏิกิริยาเนื้อดีเยวนะและเนื้อผสม โดยยังคงรักษาข้อได้เปรียบทองทั้งสองระบบไว้ นอกเหนือนี้ตัวเร่งปฏิกิริยานาโนยังมีสมบัติเชิงอิเล็กทรอนที่แตกต่างจากตัวเร่งปฏิกิริยานิดกลุ่มก้อน เนื่องจากมีสมบัติที่เข้มข้นขนาดและโครงสร้าง ทำให้ความแรงของเบสที่พื้นผิวของตัวเร่งปฏิกิริยานาโนสามารถปรับเปลี่ยนได้ (Tedsree, 2013)

แคลเซียมออกไซด์ เป็นหนึ่งในตัวเร่งปฏิกิริยาของแข็งเนื้อผสมสำหรับกระบวนการผลิตไบโอดีเซลที่มีการศึกษา กันอย่างกว้างขวาง เนื่องจากมีความเป็นเบสสูง ราคาถูก ไม่กัดกร่อน การละลายในเมทานอลต่ำ คุ้มค่าในเชิงการค้า ง่ายต่อการจัดการมากกว่าตัวเร่งปฏิกิริยาเบสแบบเนื้อดีเยว และเป็นมิตรต่อระบบอนิเวศวิทยา (Ibrahim *et al.*, 2013) แคลเซียมออกไซด์ จึงเป็นตัวเลือกหนึ่งที่น่าสนใจสำหรับการผลิตไบโอดีเซลเชิงการค้า อย่างไรก็ตามประสิทธิภาพในการผลิตไบโอดีเซลของตัวเร่งปฏิกิริยาเนื้อผสมขึ้นอยู่กับพื้นที่ผิวจำเพาะ (specific surface area) ความแรงของเบส (basic strength) และความเข้มข้นของบีโรมานพ์ปฏิกิริยา (base site concentration) (Kouzu *et al.*, 2012) ปัจจุบันเริ่มมีรายงานการนำนาโนแคลเซียมออกไซด์ที่มีขนาดอนุภาค 1-100 นาโนเมตร มาทดสอบประสิทธิภาพในการเร่งปฏิกิริยาทวนส์เอสเทอโรฟิเคลชันของน้ำมันชนิดต่างๆ แต่ยังคงมีจำนวนเพียงเล็กน้อย (Isahak *et al.*, 2010 และ Reddy *et al.*, 2006) ผลการทดสอบพบว่ามีประสิทธิภาพในการเร่งปฏิกิริยาสูง โดยความสามารถในการเร่งปฏิกิริยาขึ้นอยู่กับเทคนิคการสังเคราะห์และสภาพที่ใช้ในการสังเคราะห์

nano แคลเซียมออกไซด์สามารถสังเคราะห์โดยวิธีต่างๆ เช่น การสลายตัวโดยใช้ความร้อนของแคลเซียมไฮดรอกไซด์ (Tang, *et al.*, 2008 และ Mirghiasi, *et al.*, 2014) และแคลเซียมคาร์บอนेट (Zhu, *et al.* 2011) การใช้คลีนไมโครเวฟ (Roy *et al.*, 2011) การใช้คลีนความถี่สูง (Tang *et al.*, 2013) และกระบวนการโซล-เจล (Ghiasi *et al.*, 2012) ซึ่งแต่ละวิธีทำให้ได้แคลเซียมออกไซด์ที่มีขนาดและสัณฐานแตกต่างกัน และมีข้อดีข้อเสียแตกต่างกัน มีรายงานการใช้นานาโนแคลเซียมออกไซด์ในกระบวนการผลิตไบโอดีเซลจำนวนไม่มาก เช่น Isahak และคณะ (2010) ศึกษาประสิทธิภาพการเร่งปฏิกิริยาทวนส์ เอสเทอโรฟิเคลชันของน้ำมันปาล์มโดยใช้นาโนแคลเซียมออกไซด์ขนาดอนุภาคประมาณ 45 นาโนเมตร จากบริษัท ชิกมา อัลดิช พบว่าสภาพที่ทำให้ได้ร้อยละไบโอดีเซลสูงสุด (ร้อยละ 94) คือ สภาวะที่ใช้อัตราส่วนโดยไมลเมทานอลต่อน้ำมันเท่ากับ 15:1 ร้อยละตัวเร่งปฏิกิริยาเท่ากับ 2.5 เวลาในการเกิดปฏิกิริยา 2.5 ชั่วโมง นอกจากนี้ Reddy และคณะ (2006) ทดลองใช้นาโนแคลเซียมออกไซด์ขนาดอนุภาค 20 นาโนเมตร จากบริษัท NanoScale Materials จำกัด มาทดสอบความสามารถในการเร่งปฏิกิริยาทวนส์เอสเทอโรฟิเคลชัน ของน้ำมันถั่วเหลือง พบว่าสามารถผลิตไบโอดีเซลได้ร้อยละ 99

ภายในเวลา 24 ชั่วโมง ที่อุณหภูมิห้อง โดยใช้ตัวราชส่วนโดยไม่เมทานอลต่อน้ำมันเท่ากับ 27:1 ปริมาณตัวเร่งปฏิกิริยา 0.25 กรัมในน้ำมัน 22 มิลลิลิตร

รายงานนี้สังเคราะห์ตัวเร่งปฏิกิริยานาโนแคลเซียมออกไซด์ ที่มีขนาดอนุภาคต่างๆ กัน จากปฏิกิริยาการสลายตัวโดยใช้ความร้อนของนาโนแคลเซียมไฮดรอกไซด์ที่เตรียมได้ ภายใต้สภาวะที่มีและไม่มีการเติมสารช่วยเหลือ และนำแคลเซียมออกไซด์ที่เตรียมได้ไปทดสอบสมบติการเป็นตัวเร่งปฏิกิริยาในกระบวนการผลิตไปโดยเซลจากปฏิกิริยาทวนส์เอสเทอโรฟิเชชันของน้ำมันปาล์ม และศึกษาสภาวะต่างๆ ที่ส่งผลต่อประสิทธิภาพในการเร่งปฏิกิริยา

วัสดุอุปกรณ์และวิธีการวิจัย

1 สารเคมี

แคลเซียมไนเตรตเตตต์ไฮดรอกไซด์ และเทานอล ใช้เกรดห้องปฏิบัติการเมทานอลเอทิลีนไกลด์ และพอลิเมอร์พอลีไนโอลิโพรอลิดิน (PVP; Mw 10000) ใช้เกรดงานวิเคราะห์ เมทานอลที่ปราศจากน้ำ เตรียมโดยแช่ในโมเลกุลาร์ชีพ น้ำมันปาล์มโอลีนผ่านกรวยชีพซึ่งได้ตามท้องตลาด

2 เครื่องมือ

วิเคราะห์ขนาด รูปร่าง และการกระจายตัวของอนุภาคนาโนแคลเซียมออกไซด์ที่เตรียมได้โดยกล้องจุลทรรศน์อิเล็กทรอนิกส์ส่องผ่าน (TEM) ยี่ห้อ Phillips รุ่น TECNAI 20 วิเคราะห์โครงสร้างผลึก และเฟสของปะการองโดยเครื่อง X-Ray diffractometer รุ่น Bruker D8 Advance X-ray วิเคราะห์ปริมาณพื้นที่ผิวโดยเครื่องวิเคราะห์พื้นผิว (BET) รุ่น Belsorp-max และหาปริมาณเมทิลเอสเทอร์ที่ผลิตได้จากปฏิกิริยาทวนส์เอสเทอโรฟิเชชันโดยเครื่องนิวเคลียร์แมกเนติกเรโซแนนซ์ รุ่น FT NMR บริษัท BRUKER 400 MHz

3 การสังเคราะห์นาโนแคลเซียมออกไซด์

ตัวอย่างไนเตรตไฮดรอกไซด์ความเข้มข้น 4.30 มิลลิตร ปริมาตร 100.0 มิลลิลิตร ใส่ขวด 3 คอขนาด 250 มิลลิลิตร ให้ความร้อนที่อุณหภูมิ 120 องศาเซลเซียส เป็นเวลา 30 นาที เติมแคลเซียมไนเตรตเตตต์ไฮดรอกไซด์ความเข้มข้น 4.30 มิลลิตร ปริมาตร 50.0 มิลลิลิตรลงในสารละลายน้ำที่เตรียมไว้ด้วยตัวราชส่วนที่ได้อยู่ในตัวราชเรือ ประมาณ 3 มิลลิลิตร/นาที สารละลายน้ำมีลักษณะมีลักษณะขุ่นขาว คนต่อเป็นเวลา 10 นาที และปล่อยให้ของผสมที่ได้อยู่ในตัวราชเรือที่อุณหภูมิของการทำปฏิกิริยาเป็นเวลา 5 นาที ผลิตภัณฑ์ที่ได้มีลักษณะเป็นเจล กรองขณะร้อน ล้างตะกอนด้วย 2-โพราฟานอลโดยใช้ ultrasonic bath แยกตะกอนโดยวิธีเซนทริฟิวจ์ อบตะกอนที่ได้ที่อุณหภูมิ 120 องศาเซลเซียส เป็นเวลา 2 ชั่วโมง นำของแข็งที่ได้เป็นที่อุณหภูมิที่ต้องการศึกษาเป็นเวลา 2 ชั่วโมง ในกรณีการสังเคราะห์ภายนอกตัวราชที่มีการเติมสารช่วยเหลือ สามารถทำเช่นเดียวกับวิธีข้างต้น แต่เติม PVP 6.5 กรัม ละลายในเอทิลีนไกลด์ และน้ำไปให้ความร้อน

4 การศึกษาพื้นผิว

การทดสอบความแรงของเบสโดย Hammett indicator

ชั่งตัวอย่างแคลเซียมออกไซด์ที่เตรียมได้ 25 มิลลิกรัม ใส่ในหลอดทดลอง เติมเมทานอลปริมาตร 5.0 มิลลิลิตร และหยดสารละลายนินดิเคเตอร์ที่ต้องการศึกษา ได้แก่ พีโนลฟทาลีน 2,4-ไดไนโตรอนิลีน และ 4-ไนโตรอนิลีน ประมาณ 2-3 หยดลงในแต่ละหลอด คนสารละลายน้ำที่เข้ากัน สังเกตการเปลี่ยนแปลงสีภายในเวลา 2 ชั่วโมง

การหาปริมาณพื้นผิวที่เป็นเบสโดย Hammett Titration

ชั่งตัวอย่างแคลเซียมออกไซด์ที่เตรียมได้ 0.1 กรัม เตรียมให้อยู่ในรูปสารแขวนลอยในสารละลายนินอลฟทาลีนในทอกลูอีนเข้มข้น 0.01 มิลลิกรัมต่อลิตร ปริมาตร 2.0 มิลลิลิตร คนเป็น團 0.5 ชั่วโมง ให้เทลงกับสารละลายนกรดเบนโซิกในทอกลูอีนความเข้มข้น 0.1 มิลลาร์ จนกระทั่งสารละลายนกรดเบนโซิก

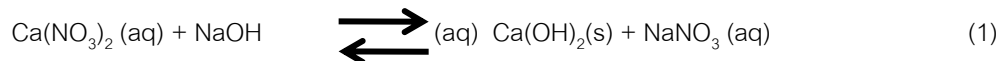
5 การผลิตไบโอดีเซลโดยปฏิกริยาทรายส์อสเทอริฟิคेचัน

ตั้งน้ำมันปาล์มตัวอย่างปริมาณ 30.0 มิลลิลิตร ใส่ในขวดก้นกลม 3 คง ให้ความร้อนที่อุณหภูมิ 150 องศาเซลเซียส เป็นเวลา 2 ชั่วโมง ตั้งทิ้งไว้ที่อุณหภูมิห้องจนกระทั่งอุณหภูมิของน้ำมันลดลงเหลือที่ประมาณ 50 องศาเซลเซียส เติมสารเคมีของนาโนแคลเซียมออกไซด์ในเมทานอลตามปริมาณที่ต้องการศึกษา ให้ความร้อนที่อุณหภูมิ 60 องศาเซลเซียส ตามเวลาที่ต้องการศึกษา นำของผสมที่ได้ใส่ขวดรูปทรงกระบอกเพื่อดูการแยกชั้นของไบโอดีเซล แยกชั้นไบโอดีเซลที่ได้ไปล้างด้วยน้ำ และแยกไคลสบูร์ออกโดยวิธีเซนทริฟิวจ์ ล้างไบโอดีเซลที่ได้ด้วยน้ำประมาณ 3-4 รอบ จนกระทั่งไม่พบไคลสบูร์แยกออกมา กำจัดน้ำออกจากไบโอดีเซลโดยน้ำไปด้วยระบายน้ำอุณหภูมิ 120 องศาเซลเซียส และเติมโซเดียมซัลเฟต แอนไฮดรัส เพื่อดูความชื้น กรองด้วยเครื่องกรองสูญญากาศ วิเคราะห์ร้อยละการเปลี่ยนไตรกลีเชอไรด์ในน้ำมันเป็นไบโอดีเซล (เมทิลเอสเทอร์ของกรดไขมัน) โดยเทคนิคโนเวลลีฟแมกเนติกเรโซนนนซ์ จากการวัดสัญญาณ $^1\text{H-NMR}$ ศึกษาสภาวะต่างๆ ที่มีผลต่อปฏิกริยาทรายส์อสเทอริฟิคेचัน โดยแปรเปลี่ยนปัจจัยต่างๆ เช่น ร้อยละโดยน้ำหนักแคลเซียมออกไซด์ต่อน้ำมัน เวลาที่ใช้ในการทำปฏิกริยา และอัตราส่วนโดยไมล์เมทานอลต่อน้ำมัน

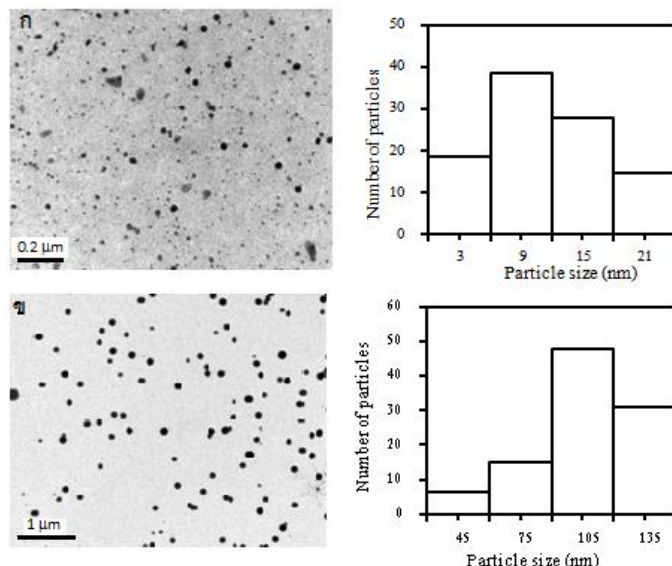
ผลการทดลองและอภิปราย

1 การสังเคราะห์และการวิเคราะห์ลักษณะเฉพาะนาโนแคลเซียมออกไซด์

นาโนแคลเซียมไฮดรอกไซด์ สามารถเตรียมได้จากการควบคุมปฏิกริยาไฮดรอลิซิสของแคลเซียมในเทราทในสภาวะเบสตังสมการที่ 1



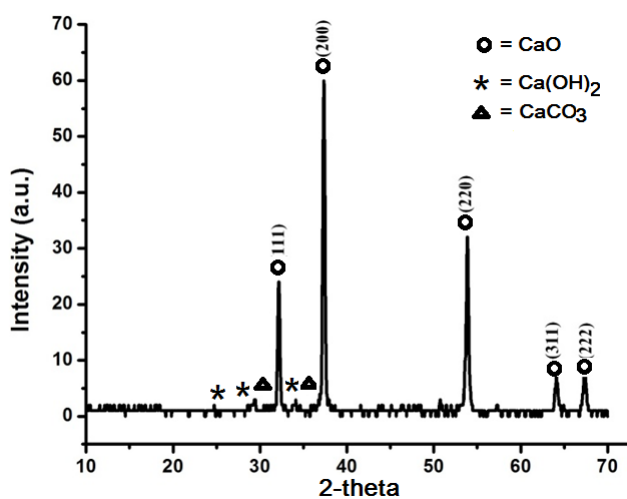
ผลิตภัณฑ์ที่ได้มีลักษณะเป็นเจลสีขาวขุนในตัวกลางເອທີລືນໄກລຄອດ การกรองตะกอนคราบรำขันจะร้อนเนื่องจากแคลเซียมไฮดรอกไซด์สามารถละลายได้ในເອທີລືນໄກລຄອດ และละลายได้ช้าที่อุณหภูมิต่ำ นอกเหนือนี้ເອທີລືນໄກລຄອດสามารถดูดซับที่พื้นผิวของแคลเซียมไฮดรอกไซด์ได้ ทำให้อุณหภูมิແเนิมแกะวามกันเป็นกลุ่มก้อนในระหว่างขั้นตอนการกรอง การล้างตะกอนที่กรองได้ด้วย 2- โพรงน้ำ ภายนอก ภายนอกลื่นความถี่สูง จะช่วยให้อุณหภูมิกระจายตัวในรูปคอลลอยด์โดยสามารถใช้เทคนิคเซนทริฟิวจ์เพื่อแยกตะกอนออกต่อไป เมื่อนำตะกอนแคลเซียมไฮดรอกไซด์ที่ได้ไปเผา (calcination) ผ่านปฏิกริยาการสลายตัวโดยใช้ความร้อนเพื่อกำจัดน้ำ จะได้นาโนแคลเซียมออกไซด์ โดยแคลเซียมไฮดรอกไซด์จะสลายตัวเป็นแคลเซียมออกไซด์ที่อุณหภูมิประมาณ 375-480 องศาเซลเซียส (Mirghiasi, et al., 2014) โดยทั่วไป PVP ที่เกิดแรงกระทำกับโลหะออกไซด์จะสลายตัวที่อุณหภูมิต่ำกว่าอุณหภูมิการสลายตัวของ PVP บริสุทธิ์ (450 องศาเซลเซียส) (Borodko, et al., 2012) ตั้งนั้นการเผาที่อุณหภูมิสูงกว่าจึงสามารถช่วยกำจัด PVP ออกจากโครงสร้างโดยคงเหลือไว้แต่เพียงแคลเซียมออกไซด์ การวิเคราะห์ขนาด รูปร่าง และการกระจายตัวของแคลเซียมออกไซด์ ใช้เทคนิคจลทรรศน์อิเล็กตรอนซึ่งส่องผ่าน ภาพถ่ายที่ได้แสดงในภาพที่ 1



ภาพที่ 1 ภาพถ่าย TEM และกราฟการกระจายตัวของขนาดอนุภาคในแคลเซียมออกไซด์ที่เตรียมภายใต้สภาวะ
ก) ที่มีการเติมสารช่วยเหลือ PVP ข) ไม่มีการเติมสารช่วยเหลือ

จากภาพที่ 1 จะเห็นได้ว่าแคลเซียมออกไซด์ที่เตรียมได้มีขนาดอนุภาคในระดับนาโนเมตร มีการกระจายตัวที่ดีไม่รวมกันเป็นกลุ่มก้อน การเตรียมภายใต้สภาวะที่มีและไม่มีการเติมสารช่วยเหลือ PVP ทำให้ได้นาโนแคลเซียมออกไซด์ที่มีขนาดอนุภาค 12.6 ± 4.8 นาโนเมตร และ 106.3 ± 25.8 นาโนเมตร ตามลำดับ จะเห็นได้ว่าการเติม PVP ช่วยให้แคลเซียมออกไซด์ที่ได้มีขนาดเล็กลง เนื่องจากผลความเกะกะของไมเลกุลขนาดใหญ่ของ PVP จะช่วยป้องกันการรวมตัวของอนุภาคในแคลเซียมออกไซด์ ทำให่อนุภาคสามารถกระจายตัวในรูปของคอลลอยด์ ขนาดเล็กที่มีเสถียรภาพสูงกว่า

ตัวอย่างรูปแบบการเดี้ยวเบนของรังสีเอกซ์ของตัวอย่างนาโนแคลเซียมออกไซด์ที่เตรียมภายใต้สภาวะที่ไม่มีการเติมสารช่วยเหลือ PVP และเพาท์คูณหนัก 700 องศาเซลเซียส แสดงดังภาพที่ 2



ภาพที่ 2 รูปแบบการเดี้ยวเบนรังสีเอกซ์ของนาโนแคลเซียมออกไซด์ หลังจากเผาที่คูณหนัก 700 องศาเซลเซียส

จากรูปแบบการเดี้ยวเบนของรังสีเอกซ์ ในภาพที่ 2 ค่ามุมของการเดี้ยวเบน (2θ) ที่ $32.1, 37.3, 53.9, 64.1$ และ 67.3 สอดคล้องกับรูปแบบการเดี้ยวเบนรังสีเอกซ์ของแคลเซียมออกไซด์บนระนาบผลึก (111), (200), (220), (113) และ

(222) ตามลำดับ ซึ่งเป็นโครงสร้างผลึกแบบลูกบาศก์ (face center cubic) นอกจากนี้สัญญาณที่ความเข้มของตัวฯ (น้อยกว่า 5 %) ที่มุ่งของการเลี้ยวเบนเท่ากับ 28.8, 34.1, 36.9 และ 50.7 แสดงเฟสของแคลเซียมไฮดรอกไซด์ที่เกิดจากปฏิกิริยาไฮเดรชันของแคลเซียมออกไซด์เมื่อสัมผัสถกับน้ำหรือความชื้นในอากาศ และสัญญาณที่มุ่งของการเลี้ยวเบน 29.2 และ 38.9 แสดงเฟสของแคลเซียมคาร์บอนेट เกิดจากการสัมผัสระหว่างแคลเซียมออกไซด์กับคาร์บอนไดออกไซด์ในอากาศ นาโนแคลเซียมออกไซด์ที่เตรียมได้มีความหนาแน่นเท่ากับ 3.339 g/cm^3 ซึ่งมีค่าใกล้เคียงกับความหนาแน่นของแคลเซียมออกไซด์ประเทกกลุ่มก้อน (bulk) การหาขนาดของอนุภาคจากสมการเชียร์ร์เรอร์ (Scherrer's equation) พบว่าแคลเซียมออกไซด์ที่เตรียมได้ ภายใต้สภาพที่มีและไม่มีสารช่วยเหลือมีขนาดของผลึกเท่ากับ 25.5 นาโนเมตร และ 74.4 นาโนเมตร ตามลำดับ โดยมีแนวโน้มไปในทิศทางเดียวกันกับการวิเคราะห์โดยเทคนิคจลทรุคนิโอเล็กตรอน

2 สมบัติพิเศษของตัวเร่งปฏิกิริยา

ผลการวิเคราะห์พินที่ผิวจำเพาะ ปริมาตรวูพรุน และขนาดของวูพรุน และความเป็นเบสของตัวเร่งปฏิกิริยานาโนแคลเซียมออกไซด์ที่สังเคราะห์ได้ และผ่านการเผาที่อุณหภูมิ 700 องศาเซลเซียส แสดงดังตารางที่ 1

ตารางที่ 1 สมบัติทางกายภาพและทางเคมีของนาโนแคลเซียมออกไซด์ วิเคราะห์โดยเทคนิค BET และ Hammett indicator

สภาพการเตรียม	ขนาด อนุภาค*	พื้นผิว (nm)	ปริมาตร $\text{[m}^2 \text{ g}^{-1}\text{]}$	ขนาด $\text{[cm}^3 \text{ g}^{-1}\text{]}$	ความเป็นเบส	ปริมาณพื้นผิว ที่เป็นเบส (mmol/g)
แคลเซียมออกไซด์	อนุภาค*	จำเพาะ	วูพรุน	วูพรุน		
เติมสารช่วยเหลือ PVP	26	70.30	0.06	2.50	$15 < H_- < 18.4$	0.9
ไม่เติมสารช่วยเหลือ PVP	51	35.25	0.02	2.10	$15 < H_- < 18.4$	0.6

*ขนาดอนุภาคเฉลี่ยจากการสมมติว่าอนุภาคเป็นรูปทรงกลมและไม่มีรูพรุน โดยคำนวณจากสมการ

พื้นผิวจำเพาะ = $6000 / (\text{ความหนาแน่น CaO} \times \text{เส้นผ่านศูนย์กลางอนุภาค})$, ความหนาแน่นแคลเซียมออกไซด์ = 3.34 g/cm^3

จากตารางที่ 1 จะเห็นได้ว่าการเติมสารช่วยเหลือ PVP ช่วยให้นาโนแคลเซียมออกไซด์ที่เตรียมได้มีขนาดอนุภาคเล็กกว่ากรณีที่ไม่เติม PVP โดยช่วยป้องกันการรวมตัวเป็นอนุภาคขนาดใหญ่ และทำให้มีพื้นผิวจำเพาะเพิ่มมากขึ้น นอกจากนี้ยังมีส่วนช่วยให้ออนุภาคมีความพรุนสูงขึ้น เนื่องจาก PVP ที่ดูดซับบนพื้นผิวของนาโนแคลเซียมออกไซด์ จะถลายตัวในขั้นตอนการเผาและเกิดเป็นช่องรูพรุนภายใน

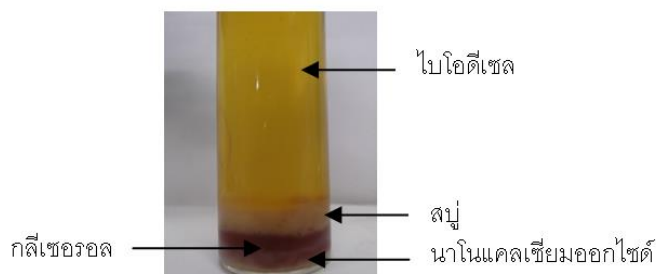
การทดสอบความแรงของเบส (H_-) บนพื้นผิว โดยใช้ Hammett indicator ในช่วง $9.8 < H_- < 18.4$ พบว่า ให้สีชมพูเมื่อทดสอบกับฟีโนอลฟทาลีน ($pK_a = 9.3$) แสดงว่า nano แคลเซียมออกไซด์ที่เตรียมได้มีความเป็นเบสมากกว่า 9.8 เมื่อทดสอบด้วย 2, 4 ไดโนโตรอนิลีน ($pK_a = 15$) พบว่าเปลี่ยนเป็นสีฟ้าเข้ม ในขณะที่การทดสอบด้วย 4-ในโตรโอนาลีน ($pK_a = 18.4$) ไม่เกิดการเปลี่ยนแปลง แสดงให้เห็นว่าตัวเร่งปฏิกิริยานาโนแคลเซียมออกไซด์ที่เตรียมได้มีความเป็นเบสช่วง $15.0 < H_- < 18.4$ การวิเคราะห์ปริมาณพื้นผิวที่เป็นเบสของแคลเซียมออกไซด์ในเมทานอล โดยวิธีการไทรกราฟ พบร่วมกันใน nano แคลเซียมออกไซด์ที่มีขนาดอนุภาคเล็กกว่า และมีพื้นผิวสูงกว่า มีจำนวนโมลของบริเวณเร่งปฏิกิริยาที่เป็นเบสต่อกรัมสูงกว่าเท่านั้น

3.1 การผลิตใบโอดิเซลจากปฏิกิริยารานส์โซสเตอโรฟิเดชัน โดยตัวเร่งปฏิกิริยานาโนแคลเซียมออกไซด์

จากขั้นตอนการเตรียมน้ำมันโดยการต้มที่อุณหภูมิ 150 องศาเซลเซียส เป็นเวลา 2 ชั่วโมง เพื่อกำจัดน้ำและความชื้น จะเห็นได้ว่าอุณหภูมิที่ใช้สูงกว่าที่มีรายงาน ซึ่งโดยส่วนมากจะทำโดยการอุ่นน้ำมันในช่วงอุณหภูมิ $105-120^\circ\text{C}$ เนื่องจากการต้มน้ำมันที่อุณหภูมิสูงมีส่วนทำให้น้ำมันเกิดปฏิกิริยาไฮดรอลิซส์ได้กรดไขมันอิสระและกลีเซอรอลเกิดขึ้น จากผลการวิเคราะห์

พบว่าปริมาณกรดไขมันอิสระก่อนและหลังการต้มมีค่าเท่ากับ 1.58 และ 3.57 มิลลิกรัมโซเดียมไฮดรอกไซด์/กรัมน้ำมันตามลำดับ เมื่อผสมสารเขวนloyana ในแคลเซียมออกไซด์ในเมทานอลลงในน้ำมันที่ผ่านการต้มและลดอุณหภูมิลงที่ประมาณ 50 องศาเซลเซียส จะได้ของผสมที่มีลักษณะขุ่นข้น มีสีเหลืองอ่อน แคลเซียมเมทอกไซด์ซึ่งเกิดจากปฏิกิริยาระหว่างแคลเซียมออกไซด์และเมทานอล จะเข้าทำปฏิกิริยาทรานส์อสเทอร์ฟิเชชันกับหมู่คาร์บอนิลในโมเลกุลของไตรกลีเซอไรด์ในน้ำมันได้ไม่นอกลีเชอไรด์ ไดกลีเชอไรด์ เมทิลเอสเทอร์ของกรดไขมัน และกลีเชอราลด (Masato et al., 2012) เมื่อกลีเชอราลดที่เกิดขึ้นมีปริมาณมากเพียงพอ สามารถทำปฏิกิริยา กับแคลเซียมออกไซด์ได้แคลเซียมไกลเซอโรกไซด์ (calcium glyceroxide; $\text{Ca}[\text{O}(\text{OH})_2\text{CH}_3\text{H}_5]_2$) มีรายงานการค้นคว้าขี้ให้เห็นว่าแคลเซียมไกลเซอโรกไซด์เป็นสปีชีส์ที่มีประสิทธิภาพสูงกว่าแคลเซียมเมทอกไซด์ในกระบวนการผลิตใบโอดีเซล (Kouzu et al., 2008) โดยช่วงแรกของการเกิดปฏิกิริยาแคลเซียมเมทอกไซด์ เป็นสปีชีส์ที่มีผลในการเร่งปฏิกิริยาทรานส์อสเทอร์ฟิเชชัน แต่เมื่อปฏิกิริยาดำเนินไปจนเกิดกลีเชอราลดในปริมาณที่เพียงพอ กลีเชอราลดสามารถทำปฏิกิริยา กับแคลเซียมออกไซด์ได้แคลเซียมไกลเซอโรกไซด์ที่มีประสิทธิภาพสูง และว่องไวในการเกิดปฏิกิริยา กับไตรกลีเชอไรด์ จากการทดลอง ถึงแม้ว่าการต้มน้ำมันที่อุณหภูมิ 150 องศาเซลเซียส ทำให้น้ำมันส่วนหนึ่งเกิดการสลายตัวเป็นกรดไขมันอิสระและกลีเชอราลด อีกทั้งกรดไขมันอิสระเป็นสาเหตุหลักของการเกิดสนุ่น อย่างไรก็ตามกลีเชอราลดที่เป็นอยู่ในน้ำมันปริมาณหนึ่งตั้งแต่เริ่มต้นก็ได้ปฏิกิริยา อาจมีส่วนช่วยเร่งการเกิดปฏิกิริยาในช่วงต้น ทำให้ปฏิกิริยาสามารถเกิดได้สมบูรณ์ในช่วงเวลาสั้นๆ

หลังจากปฏิกริยาหวานส์เอสเทอวิฟิเคชัน ของผสมที่ได้จะแยกออกเป็นชั้นต่างๆ ดังภาพที่ 3 โดยตะกอนสีขาวในชั้นล่างสุดคือ ตัวเร่งปฏิกริยานาโนแคลเดซิเมมออกไซด์ ของเหลวสีส้มในชั้นถัดไปคือ กลีเซอรอลอิสระ ชั้นถัดไปคือ อิมัลชันของสบู่ และชั้นบนสุดคือ เมทิลเอสเทอว์ของกรดไขมันหรือไบโอดีเซล



**ภาพที่ 3 การแยกชั้นขององค์ประกอบที่ได้จากปฏิกริยาหวานส์ເອສເທວິຣີເຄັ້ນຂອງນໍ້າມັນປາລົມເມື່ອໃຫ້ນາໃນແຄລເຊີມອອກໄໂຮດ
เป็นตัวเร่งปฏิกริยา**

การแยกชั้นระหว่างกลีเซอรอลกับไบโอดีเซลดังภาพที่ 3 จะเกิดสมบูรณ์ที่เวลาต่างๆ กันขึ้นอยู่กับปริมาณกรดไขมันอิสระที่ป่นอยู่ และปริมาณสูญปูนเปื้อนจากปฏิกิริยาสปอนนิฟิเคชัน นอกจาจนี้การละลายของแคลเลชียมออกไซด์ (leaching) จะทำให้ Ca^{2+} ที่เกิดขึ้นสามารถจับกับกลีเซอรอล และแหนวนโดยอยอยู่ในไบโอดีเซลได้ ทำให้การแยกชั้นของกลีเซลอลทำได้ยาก เช่นกัน จากการทดลองพบว่าสามารถเห็นกลีเซอรอลแยกออกจากมอยู่ที่ก้นหลอดด้วยใน 3 ชั่วโมง และแยกสมบูรณ์หลังจากทิ้งไว้ 1 คืน การล้างไบโอดีเซลด้วยน้ำ จะได้ไคลสบูสีขาวจะแยกออกจากในชั้นน้ำหลังจากการ เชื้อพิวิร์ก จากการทดลอง การล้างด้วยน้ำที่อัตราส่วนน้ำต่อน้ำมันเท่ากับ 1:1 จำนวนประมาณ 3 ครั้ง จะไม่เพิ่มไคลสบูแยกออกจาก การวิเคราะห์ปริมาณเมทิลเอสเทอร์ทำโดยใช้เทคนิค ^1H NMR สเปก trois นำไป โดยคำนวณร้อยละการเปลี่ยนไตรกลีเซอไรต์เป็นเมทิลเอสเทอร์จากพื้นที่ไดกราฟของสัญญาณprotoconในหมู่เมทิลีน (- CH_2-) และหมู่เมทอกซี (- O-CH_3) ตามสมการที่ 2 (Gelbard et al., 1995)

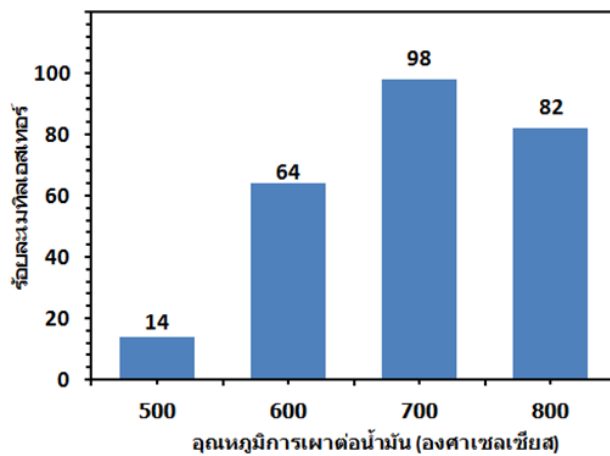
$$C = 100 \times \left(\frac{2 \times I_{ME}}{3 \times I_{CH_2}} \right) \quad (2)$$

ค่า C คือ ร้อยละเมทิลเอสเทอร์ของกรดไขมัน (บีโอดีเซล) I_{ME} คือ ค่าที่ได้จากการอินทริเกตสัญญาณได้พีคของป्रอตอน ตรวจหนูเมทอกซีที่ตำแหน่ง 3.7 ppm และ I_{CH_2} คือ ค่าที่ได้จากการอินทริเกตสัญญาณได้พีคของป्रอตอนในหนูเมทิลีนที่ตำแหน่ง 2.3 ppm ตัวเลข 2 และ 3 คือ จำนวนป्रอตอนของหนูเมทิลีนและหนูเมทอกซีตามลำดับ

3.2 การศึกษาปัจจัยที่มีผลต่อประสิทธิภาพการเร่งปฏิกิริยาทranes เทอริฟิเคชันของนาโนแคลเซียมออกไซด์

อุณหภูมิในการเผาตัวเร่งปฏิกิริยา nano calcium oxide

เนื่องจากพื้นผิบวีเรนเร่งปฏิกิริยาของแคลเซียมออกไซด์กว่างไวด่อน้ำ ความชื้น และคาร์บอนไดออกไซด์ในบรรยากาศ ดังนั้นเพื่อให้ได้ประสิทธิภาพในการเร่งปฏิกิริยาสูงสุด จึงควรใช้ตัวเร่งปฏิกิริยาทันทีหลังจากการเผา หรือเก็บภายใต้บรรยากาศในตู้เย็น ความสัมพันธ์ระหว่างอุณหภูมิการเผาและร้อยละเมทิลเอสเทอร์ของกรดไขมันที่เกิดขึ้น แสดงดังตัวกราฟในภาพที่ 4



ภาพที่ 4 ร้อยละเมทิลเอสเทอร์ของกรดไขมันจากปฏิกิริยาทranes เทอริฟิเคชันของน้ำมันปาล์ม เมื่อใช้นานโนแคลเซียมออกไซด์ที่ผ่านการเผาที่อุณหภูมิต่างๆ เป็นตัวเร่งปฏิกิริยา (สภาพที่ใช้: อุณหภูมิ 60 องศาเซลเซียส ร้อยละโดยน้ำหนักตัวเร่งปฏิกิริยาเท่ากับ 1 อัตราส่วนโดยไมลของมแทนลดต่อน้ำมันเท่ากับ 8:1 เวลาในการทำปฏิกิริยา 1 ชั่วโมง)

จะเห็นได้ว่าอุณหภูมิการเผามีผลต่อร้อยละเมทิลเอสเทอร์ที่ได้ การเผาที่อุณหภูมิ 700 องศาเซลเซียส ทำให้ได้ร้อยละเมทิลเอสเทอร์สูงที่สุด เนื่องจากการเผาที่อุณหภูมิต่ำ พบร่วมมือเพื่อของแคลเซียมไอก្រอกไซด์ และแคลเซียมคาร์บอนต์ ซึ่งมีประสิทธิภาพต่ำในการเร่งปฏิกิริยาน้อย และอุณหภูมิการเผาที่สูงเกินไปอาจจะทำให้เกิดการรวมกันของอนุภาคทำให้พื้นที่ผิวในการเกิดปฏิกิริยาลดลง (Viriyempikul, et al., 2012) จากรายงานการวิเคราะห์ด้วยเทคนิคเชิงความร้อน (Mirghiasi, et al., 2014) เพื่อติดตามพฤติกรรมการสลายตัวของแคลเซียมไอก្រอกไซด์ และแคลเซียมคาร์บอนต์ พบร่วมกันและแคลเซียมออกไซด์สมบูรณ์ที่อุณหภูมิประมาณ 375-480 และ 480-650 องศาเซลเซียส ตามลำดับ นอกจากนี้เพื่อศึกษาอิทธิพลของสารประกอบแคลเซียมชนิดต่างๆ ที่ปนในตัวเร่งปฏิกิริยา มีรายงานการนำสารประกอบแคลเซียมต่างๆ มาใช้เป็น

ตัวเร่งปฏิกิริยาทรายส์เอสเทอโรฟิโคชันน้ำมันพืช (Kouzu, et al., 2008) พบว่า พบว่าแคลเซียมออกไซด์ และแคลเซียมคาร์บอเนต ให้ร้อยละเมทิลเอสเทอรอยู่ของกรดไขมัน เท่ากับ 93, 12 และ 0 ตามลำดับ

ร้อยละตัวเร่งปฏิกิริยานาโนแคลเซียมออกไซด์

การใช้ปริมาณตัวเร่งปฏิกิริยาที่เหมาะสมทำให้ได้ร้อยละผลิตภัณฑ์ต่อมากถึง 98% ความสัมพันธ์ระหว่างร้อยละเมทิลเอสเทอรอยู่ของกรดไขมันที่ได้แล้วร้อยละโดยน้ำหนักของตัวเร่งปฏิกิริยานาโนแคลเซียมออกไซด์ที่ใช้เทียบกับน้ำมัน เมื่อเวลาในการเกิดปฏิกิริยาต่างๆ กัน แสดงในตารางที่ 2

ตารางที่ 2 ร้อยละเมทิลเอสเทอรอยู่จากปฏิกิริยาทรายส์เอสเทอโรฟิโคชันที่เวลาในการทำปฏิกิริยาและร้อยละตัวเร่งปฏิกิริยานาโนแคลเซียมออกไซด์ต่างๆ

เวลา (นาที)	ร้อยละโดยน้ำหนักตัวเร่งปฏิกิริยา	ร้อยละเฉลี่ยเมทิลเอสเทอรอยู่*
30	0.5	51
	1	65
	2	98
60	1	98
	2	100
90	1	100
	2	100

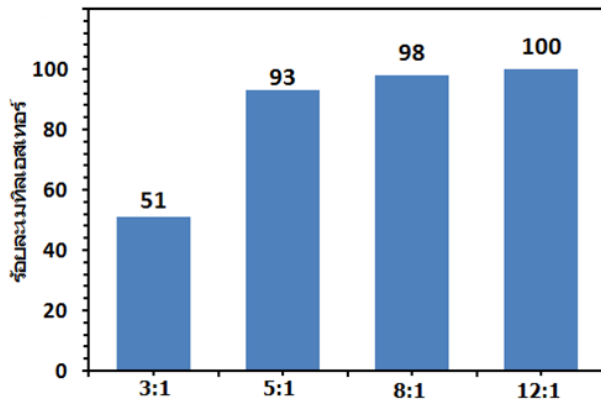
สภาวะที่ใช้: อุณหภูมิ 60 องศาเซลเซียส อัตราส่วนจำนวนโมลเมทานอลต่อน้ำมันเท่ากับ 8:1

ค่าเบี่ยงเบนมาตรฐานมีค่าไม่เกิน $\pm 2\%$

การเพิ่มปริมาณตัวเร่งปฏิกิริยาทำให้ได้ร้อยละเมทิลเอสเทอรอยู่สูงขึ้น เมื่อใช้ร้อยละโดยน้ำหนักของตัวเร่งปฏิกิริยานาโนแคลเซียมออกไซด์เท่ากับ 1 ทำให้ได้ร้อยละผลผลิตไปโอดีเซลที่ผ่านเกณฑ์มาตรฐานของกรมธุรกิจพลังงาน (มากกว่าร้อยละ 96.5) ภายในเวลา 60 นาที เมื่อเพิ่มร้อยละโดยน้ำหนักของตัวเร่งปฏิกิริยาเท่ากับ 2 พบว่าใช้เวลาในการเกิดปฏิกิริยาลดลงเหลือเพียง 30 นาที ดังนั้นการใช้ตัวเร่งปฏิกิริยาเพียงร้อยละ 1-2 และใช้เวลาในการทำปฏิกิริยาเพียง 30-60 นาที ที่อุณหภูมิ 60 องศาเซลเซียส แสดงให้เห็นว่าตัวเร่งปฏิกิริยานาโนแคลเซียมออกไซด์ที่เตรียมได้มีประสิทธิภาพสูงในการผลิตไปโอดีเซล

อัตราส่วนโดยโมลเมทานอลต่อน้ำมัน

ตามอัตราส่วนปริมาณสัมพันธ์ในการผลิตไปโอดีเซลจากปฏิกิริยาทรายส์เอสเทอโรฟิโคชัน ต้องใช้จำนวนโมลของเมทานอลต่อน้ำมัน เท่ากับ 3:1 แต่ด้วยปฏิกิริยานี้เป็นปฏิกิริยาผันกลับได้ จึงต้องเติมเมทานอลในอัตราส่วนจำนวนโมลที่สูงกว่า เพื่อช่วยเร่งอัตราการเกิดปฏิกิริยาไปข้างหน้า ผลการศึกษาความสัมพันธ์ระหว่างร้อยละเมทิลเอสเทอรอยู่ และอัตราส่วนโดยโมลของเมทานอลต่อน้ำมันแสดงดังกราฟในภาพที่ 5



ภาพที่ 5 ร้อยละเมทิลออกไซด์ของกรดไขมันที่ผลิตได้จากปฏิกิริยาทรานส์อสเทอโรฟิคเข็นของน้ำมันปาล์ม เมื่อใช้อัตราส่วนโดยไม่ลงของเมทานอลต่อน้ำมันต่างๆ กัน และใช้ตัวเร่งปฏิกิริยานาโนแคลเซียมออกไซด์ที่เตรียมโดยไม่มีการเติมสารช่วยเหลือ (สภาวะที่ใช้: อุณหภูมิ 60 องศาเซลเซียส เวลาในการทำปฏิกิริยา 30 นาที ร้อยละโดยน้ำหนักตัวเร่งปฏิกิริยาเท่ากับ 2)

จากราฟในภาพที่ 5 จะเห็นว่าอัตราส่วนโดยไม่ลงของเมทานอลต่อน้ำมันที่ทำให้ได้ร้อยละเมทิลออกไซด์ของกรดไขมันที่ผ่านเกณฑ์มาตรฐานการผลิตไปโอดีเซลของกรมธุรกิจพลังงานคือ 8:1 และ 12:1 โดยที่อัตราส่วน 8:1 เป็นสภาวะที่เหมาะสมที่เลือกใช้ในการศึกษา แม้ว่าการเกิดปฏิกิริยาที่อัตราส่วน 12:1 ให้ผลร้อยละผลผลิตไปโอดีเซลที่สมบูรณ์แต่ก็สิ้นเปลืองปริมาณเมทานอลมากกว่ากรณีอื่นๆ นอกจากนี้ยังทำให้การแยกขั้นระหว่างกตีเซอร์ออลและไปโอดีเซลใช้เวลานานกว่า เนื่องจากเมทานอลที่เหลือจะเป็นตัวประสานให้กตีเซอร์ออลสามารถละลายได้ในน้ำมัน

ขนาดอนุภาคตัวเร่งปฏิกิริยานาโนแคลเซียมออกไซด์

ตัวอยอนุภาคนาโนมีสมบัติที่ชื่นกับขนาด ผลการทดสอบประสิทธิภาพในการเร่งปฏิกิริยาของนาโนแคลเซียมออกไซด์ขนาดต่างๆ กัน ต่อปฏิกิริยาทรานส์อสเทอโรฟิคเข็นของน้ำมันปาล์มแสดงดังตารางที่ 3

ตารางที่ 3 ร้อยละเมทิลออกไซด์ของกรดไขมันที่ผลิตได้จากปฏิกิริยาทรานส์อสเทอโรฟิคเข็นของน้ำมันปาล์ม เมื่อใช้ตัวเร่งปฏิกิริยาแคลเซียมออกไซด์ที่มีขนาดอนุภาคและร้อยละโดยน้ำหนักที่แตกต่างกัน

ขนาดอนุภาคแคลเซียมออกไซด์*	ร้อยละโดยน้ำหนักตัวเร่งปฏิกิริยา	ร้อยละเฉลี่ยเมทิลออกไซด์**
70-106 นาโนเมตร (ไม่เติมสารช่วยเหลือ PVP)	0.5	70
	1	95
	2	98
13-26 นาโนเมตร (เติมสารช่วยเหลือ PVP)	0.5	95
	1	98
	2	100
กลุ่มก้อน(bulk)	1	65

*วิเคราะห์โดยเทคนิค TEM, XRD และ BET **ค่าเบี่ยงเบนมาตรฐานมีค่าไม่เกิน $\pm 2\%$

สภาวะที่ใช้: อุณหภูมิ 60 องศาเซลเซียส เวลาในการทำปฏิกิริยา 30 นาที อัตราส่วนโดยไม่ลงของเมทานอลต่อน้ำมันเท่ากับ 8:1

จากตารางที่ 3 จะเห็นได้ว่า nanostructured เซียมออกไซด์มีประสิทธิภาพในการเร่งปฏิกิริยาทรานส์เอสเทอโรฟิเชชันสูงกว่าแคลเซียมออกไซด์ทางการค้าแบบกลุ่มก้อนอย่างมาก สอดคล้องกับรายงานของ isahak และคณะ (isahak et al., 2010) nanostructured เซียมออกไซด์ที่มีขนาดเล็กกว่ามีประสิทธิภาพในการเร่งปฏิกิริยาสูงกว่า โดยเฉพาะอย่างยิ่งเมื่อทดสอบโดยใช้ตัวเร่งปฏิกิริยาในปริมาณต่ำๆ (ร้อยละ 0.5 โดยน้ำหนัก) นอกจากนี้จะเห็นได้ว่าประสิทธิภาพในการเร่งปฏิกิริยาสัมพันธ์กับผลการวิเคราะห์ขนาด และปริมาณพื้นผิวจำเพาะจากเทคนิค TEM และ BET การเติมสารช่วยเสริมไวรช์ช่วยให้ออนุภาคมีขนาดเล็กลงพื้นที่ผิวจำเพาะสูงขึ้น และปริมาณรูพรุนเพิ่มขึ้น สงผลให้มีปริมาณบริเวณเร่งปฏิกิริยามากขึ้น ปฏิกิริยาทรานส์เอสเทอโรฟิเชชันจึงเกิดได้ในช่วงเวลาเพียงสั้นๆ โดยไม่ต้องการร้อยละตัวเร่งปฏิกิริยาที่สูง

นอกจากปริมาณบริเวณเร่งปฏิกิริยาที่มีผลต่อประสิทธิภาพในการเร่งปฏิกิริยาดังกล่าวข้างต้นแล้ว ความเป็นเบสของบริเวณเร่งปฏิกิริยาเป็นอีกหนึ่งประดีนที่สำคัญที่ควรพิจารณา เนื่องจากการเปลี่ยนแปลงขนาดมีผลต่อสมบัติทางกายภาพและสมบัติทางเคมีของอนุภาคนาโน จากร่องสร้างขึ้นของแคลเซียมออกไซด์ซึ่งประกอบด้วยแคลเซียมไอโอดอนที่มีสมบัติเป็นกรดจิวอิส ประพฤติตัวเป็นตัวรับอิเล็กตรอน และออกซิเจนไอโอดอนซึ่งทำหน้าที่รับprotoion มีสมบัติเป็นสบรองสเตท มีรายงานว่าสมบัติความเป็นกรดจิวอิส และสมบัติความเป็นสบรองสเตทของโลหะออกไซด์ ขึ้นอยู่กับขนาดอนุภาค (Li et al., 2006) การลดขนาดอนุภาคแคลเซียมออกไซด์ ส่งผลให้แคลเซียมไอโอดอนในโครงผลึกมีความแรงของกรดจิวอิสสูงขึ้น จึงสามารถรับอิเล็กตรอนจากออกซิเจนในเมทานอล เกิดเป็นแคลเซียมเมทอกไซด์ได้่ายขึ้น และเป็นไปได้ว่าเมทานอลจะว่องไวในการทำปฏิกิริยากับแคลเซียมออกไซด์ที่อนุภูมิห้อง (Kouzu et al., 2010) การเกิดปริมาณเมทอกไซด์สปีชีส์ที่มากกว่าเนื่องจากตัวเร่งปฏิกิริยาอนุภาคนาโนมีปริมาณพื้นผิวสูงกว่า ทำให้มีอัตราการเกิดปฏิกิริยาทรานส์เอสเทอโรฟิเชชันสูงกว่า

ข้อบกพร่อง (defect) ในโครงผลึกเป็นอีกปัจจัยที่ควรนำมาพิจารณาประสิทธิภาพของตัวเร่งปฏิกิริยา โลหะออกไซด์ที่มีอนุภาคขนาดเล็กมีแนวโน้มการจัดเรียงตัวของโครงผลึกที่ไม่สมบูรณ์ หรือมีปริมาณเลขโคอร์ดิเนชันต่ำกว่า (Roduner, 2006) จึงสามารถเกิดข้อบกพร่องในโครงผลึก เช่นการหายไปของออกซิเจนอะตอม (oxygen vacancy) ได้มากกว่าซึ่งเป็นอีกเหตุผลที่เป็นไปได้ที่ทำให้แคลเซียมไอโอดอนมีความสามารถในการรับคุณลักษณะของกรดจิวอิสสูงขึ้น ตอนการเกิดหมู่เมทอกไซด์ จึงเป็นขั้นตอนที่ส่งผลกระทบสำคัญต่ออัตราการเกิดปฏิกิริยา นอกจากนี้ขนาดอนุภาคที่เล็กกว่าสามารถลดข้อจำกัดเนื่องจากแรงต้านทานการแพร่ (diffusion resistance) ทำให้ทั้งสามเฟสองค์ประกอบ (น้ำมัน/ตัวเร่งปฏิกิริยา/เมทานอล) สามารถเกิดแรงกระทำได้ดีและมีอัตราการเกิดปฏิกิริยาสูงขึ้น

การทดลองต้มน้ำมันที่อนุภูมิ 120 องศาเซลเซียส เป็นเวลา 2 ชั่วโมง เพื่อใช้ทำปฏิกิริยาทรานส์เอสเทอโรฟิเชชันภายใต้สภาวะเดียวกัน พบว่าได้ร้อยละเมทิลเอสเทอร์ต่ำกว่าอย่างมีนัยสำคัญ จึงเป็นที่น่าสนใจว่ากลีเซอรอลที่ปั่นอยู่ในน้ำมันปริมาณหนึ่งจากปฏิกิริยาการสลายตัวของน้ำมัน อาจสามารถช่วยเร่งการเกิดปฏิกิริยาทรานส์เอสเทอโรฟิเชชัน โดยสามารถเกิดเป็นแคลเซียมกลีเซอรอกไซด์ ซึ่งมีรายงานว่ามีประสิทธิภาพสูงกว่าแคลเซียมเมทอกไซด์ ดังนั้นการเติมกลีเซอรอลเพิ่มลงในปฏิกิริยาจะร่วมกับเมทานอลจึงน่าสนใจที่จะทำการค้นคว้าต่อไป

ปริมาณสูญเสียจากการเกิดสูญเสีย (sponification)

การเกิดสูญเสียเป็นปัญหาสำคัญของการผลิตใบโอดีเซล นอกจากจะทำให้ร้อยละใบโอดีเซลที่ผลิตได้ลดลง ยังทำให้ขั้นการแยกใบโอดีเซลออกจากทำได้ยาก และสูญเสียน้ำปริมาณมากในขั้นตอนการล้าง การหาปริมาณสูญเสียที่เป็นผลิตภัณฑ์พหลอยได้จากการควบคุมการผลิตใบโอดีเซล ทำโดยการไฟเทอร์ผลิตภัณฑ์ที่ได้จากปฏิกิริยาทรานส์เอสเทอโรฟิเชชันกับสารละลายน้ำ

กรดไฮโดรคลอโริก โดยใช้ฟีนอลฟทาลีนและบอร์ฟีนอลบลูเป็นอินดิเคเตอร์ ความสัมพันธ์ระหว่างขนาดอนุภาคของตัวเร่งปฏิกิริยาแคลเทียมออกไซด์และปริมาณสบู่ที่เกิดขึ้นก่อนการล้าง แสดงดังตารางที่ 4

ตารางที่ 4 ขนาดตัวเร่งปฏิกิริยาแคลเทียมออกไซด์ และปริมาณสบู่ที่เกิดระหว่างกระบวนการผลิตไปโอดีเซล

ขนาดตัวเร่งปฏิกิริยา	ปริมาณสบู่ (mg/g _{oil})
13-26 นาโนเมตร	0.008
70-106 นาโนเมตร	0.013
กลุ่มก้อน	0.025

สภาวะที่ใช้: ร้อยละโดยน้ำหนักตัวเร่งปฏิกิริยานาโนในกระบวนการผลิตไปโอดีเซล สามารถซ่อมแซมลดปริมาณสบู่ที่เกิดขึ้นได้โดยน้ำหนักตัวเร่งปฏิกิริยานาโน 2 อัตราส่วนโดยไม่เมทานอลต่อน้ำมันเท่ากับ 8:1 อุณหภูมิ 60 องศาเซลเซียส เวลาที่ใช้ในการทำปฏิกิริยา 30 นาที

จากตารางที่ 4 จะเห็นได้ว่าการใช้ตัวเร่งปฏิกิริยานาโนในการผลิตไปโอดีเซล สามารถซ่อมแซมลดปริมาณสบู่ที่เกิดขึ้นซึ่งสาเหตุของการเกิดสบู่ในกระบวนการผลิตไปโอดีเซลคือ กรดไฮมันอิสระ น้ำ และความชื้นที่ปนเปื้อนในปฏิกิริยา ซึ่งมีความสำคัญต่อการกำหนดพิศทางการเกิดปฏิกิริยา เมื่อแคลเทียมออกไซด์ทำปฏิกิริยา กับน้ำ หรือความชื้น จะเกิดไฮดรอกไซด์สเปเชิลที่พื้นผิว หรือเกิดแคลเทียมไฮดรอกไซด์ซึ่งมีความเป็นเบสสูงกว่า จึงจะอ่อนโยนต่อปฏิกิริยาการเกิดสบู่มากกว่า ดังนั้นการเกิดปฏิกิริยาทวนส์เอสเทอราฟิเดชันอย่างรวดเร็วในช่วงเวลาสั้น จะช่วยลดโอกาสการเกิดแคลเทียมไฮดรอกไซด์ซึ่งเป็นสาเหตุของการเกิดสบู่ นอกจากนี้เป็นไปได้ว่า เมื่อมีอัตราการเกิดปฏิกิริยาไปข้างหน้าสูง ทำให้ปฏิกิริยาไฮโดรคลิชิกของเมทิลเอสเทอร์ เป็นกรดไฮมันอิสระเกิดได้ลดลง ปริมาณสบู่จึงลดลงเช่นกัน

บทสรุป

นาโนแคลเทียมออกไซด์ขนาดประมาณ 13-26 นาโนเมตร สามารถเตรียมภายใน PVP เป็นสารช่วยเหลือร่วม เมื่อนำมาทดสอบประสิทธิภาพในการเร่งปฏิกิริยานาโนในกระบวนการผลิตไปโอดีเซลจากปฏิกิริยาทวนส์เอสเทอราฟิเดชันของน้ำมันปาล์ม พบว่ามีประสิทธิภาพสูง โดยสามารถผลิตเมทิลเอสเทอร์หรือไปโอดีเซลได้ถึงร้อยละ 98 ภายในเวลาเพียง 0.5 - 1 ชั่วโมง ที่อุณหภูมิ 60 องศาเซลเซียส เมื่อใช้ร้อยละโดยน้ำหนักของตัวเร่งปฏิกิริยาเพียง 1-2 และพบว่าปริมาณสบู่ที่เกิดขึ้นสัมพันธ์กับขนาดอนุภาคของตัวเร่งปฏิกิริยานาโนแคลเทียมออกไซด์

กิตติกรรมประกาศ

ขอขอบคุณภาควิชาเคมี คณะวิทยาศาสตร์ มหาวิทยาลัยบูรพา สำหรับทุนสนับสนุนการทำโครงการเคมีนิสิตระดับปริญญาตรี ประจำปีการศึกษา 2554-2556

เอกสารอ้างอิง

ภาระเกด เทศศรี. (2556). ตัวเร่งปฏิกิริยานาโน: เทคนิคโลหะรีดฟิล์มและการเร่งปฏิกิริยาสูตรใหม่. วารสารวิทยาศาสตร์บูรพา, 18 (2), 274-280.

Gelbard G., Bre's O., Vargas R. M., Vielfaure F., Schuchardt U.F. (1995). ¹H Nuclear magnetic resonance determination of the yieldof the transesterification of rapeseed oil with methanol. J Am Oil Chem Soc., 72, 1239–1241

- Ghiasi, M.; Malekzadeh, A. (2012). Synthesis of CaCO₃ nanoparticles via citrate method and sequential preparation of CaO and Ca(OH)₂ nanoparticles. *Cryst. Res. Technol.*, 47, 471-478.
- Ibrahim, H., ,Ahmed, A. S., Bugaje I. M., Mohammed-Dabo, Ugwumma, C. D. (2013). Synthesis of bulk calcium oxide (CaO) catalyst and its efficiency for biodiesel production. *Journal of Energy Technologies and Policy*, 3(12), 14-16.
- Isahak, W.N.R., Ismail, M., Jahim, J.M., Salimon, J., Yarmo, M.A. (2010). Transesterification of palm oil using nano-calcium oxide as a solid base catalyst. *World applied Science (special Issue of Nanotechnology)*, 9, 17-22.
- Kouzu, M., Kasuno, T., Tajika, M., Yamanaka S., Hidaka J. (2008). Active phase of calcium oxide used as solid base catalyst for transesterification of soybean oil with refluxing methanol. *Applied Catalysis A: General*, 334, 357–365.
- Kouzu, M., Tsunomori, M., Yamanaka, S., Hidaka, J., (2010). Solid base catalysis of calcium oxide for a reaction to convert vegetable oil into biodiesel. *Advanced power Technology*, 21(4), 488-494
- Li S., Dixon A D.(2006) Molecular and electronic structures, Bronsted basicities, and Lewis acidities of group VIB transition metal oxide clusters. *J. phys. Chem. A*, 6231–6244
- Masato Kouzu, Jyu-suke Hidaka. (2012). Transesterification of vegetable oil into biodiesel catalyzed by CaO: A review, *Fuel.*, 93, 1–12
- Mirghiasi, Z., Bakhtiari, F., Darezereshki, E. Esmaeilzadeh, E. (2014). Preparation and characterization of CaO nanoparticles from Ca(OH)₂ by direct thermal decomposition method. *Journal of Industrial and Engineering Chemistry*. 20 (1), 113–117.
- Rahul, R., Satyarthi, J. K., Srinivas, D. (2011). Lanthanum and zinc incorporated hydrotalcites as solid base catalysts for biodiesel and biolubricants production. *Indian Journal of Chemistry*. ,50A, 1017-1025
- Reddy, C. R. V., Oshel, R., Verkade, J. G. (2006). Room-Temperature Conversion of Soybean Oil and Poultry Fat to Biodiesel Catalyzed by Nanocrystalline Calcium Oxides. *Energy & Fuels*, 20, 1310-1314.
- Roduner E. (2006). Size matters: why nanomaterials are different, *Chem. Soc. Rev.*, 2006, 35, 583–592
- Roy, A., Bhattacharya, J. (2011). Microwave assisted synthesis and characterization of CaO nanoparticles. *International Journal of Nanoscience*, 10(3), 413-418.
- Sadeghi M., Husseini, M. H. (2013). A Novel Method for the Synthesis of CaO Nanoparticle for the Decomposition of Sulfurous Pollutant, *Journal of Applied Chemical Research*, 7(4), 39-49.
- Tang, Y., Chen, G., Zhang, J., Lu, Y. (2011). High active CaO for the transterification to biodiesel production from rapeseed oil. *Bull. Chem. Soc. Ethiop.*, 25(1), 37-42.
- Tang, Z.-X., Yu, Z., Zhang, Z.-L., Zhang, X.-Y. Pan, Q.-Q., Shi, L.-E. (2013). Sonication-assisted preparation of CaO nanoparticles for antibacterial agents. *Quim. Nova*, Vol. 36, No. 7, 933-936
- Tang, Z. X.; David, C.; Corcuff, R.; Belkacemi, K.; Arul, J. (2008). Preparation of nano-CaO using thermal-decomposition method. *Mater. Lett.*, 62, 2096.

- Viriya-empikul, N., Krasae, P., Nualpaeng, W., Yoosuk, B., Faungnawakij, K. (2012). Biodiesel production over Ca-based solid catalysts derived from industrial wastes. ,*Fuel.* 92, 239–244.
- Yuri Borodko, Y., Habas, S. E., Koebel, M., Yang, P., Frei, H, Somorjai G. A.(2006). Probing the Interaction of Poly(vinylpyrrolidone) with Platinum Nanocrystals by UV-Raman and FTIR. *J. Phys. Chem. B* 110, 23052-23059.
- Zhu, Y., Wu, X., Wang, X. (2011). Nano CaO grain characteristics and growth model under calcination. *Chemical Engineering Journal*, 175, 512 -518.